

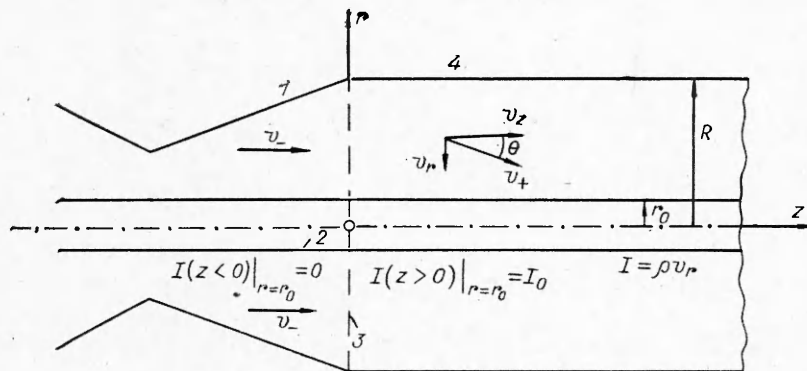
**ИСТЕЧЕНИЕ ИЗ СОПЛА ЛАВАЛЯ
С КОНДЕНСАЦИЕЙ ПАРОВОЙ ФАЗЫ
НА СПУТНОЙ СТРУЕ ХОЛОДНОЙ ЖИДКОСТИ**

*С. И. Аладьев, Ф. М. Крантов, С. В. Теплов
(Москва)*

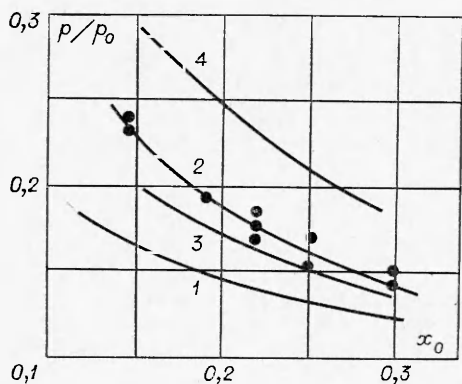
Известно, что при истечении двухфазных сред (пар — капли) из сопла Лаваля в свободное пространство их срез при определенном значении противодавления p_+ запирается, т. е. давление на срезе p_- остается постоянным при дальнейшем снижении p_- . Такому режиму истечения соответствует максимальная эффективность работы сопла [1]. Значение p_- определяется величинами входных давлений p_0 и расходного массового паросодержания x_0 . Впрыск за соплом холодной жидкости приводит к дополнительным эффектам, которые могут заметно повлиять на режим истечения. Цель данной работы — экспериментальное и теоретическое исследование истечения из сопла при конденсации паровой фазы на спутной струе жидкости за его срезом.

Опыты проводились на пароводяном стенде. Схема истечения показана на фиг. 1. Сопло Лаваля 1 с центральным телом 2 было выполнено аналогично конструкции, описанной в [1]. Центральное тело представляет собой жидкостное сопло с теплоизоляцией. Срез сопла расположен в плоскости 3. За срезами сопла устанавливался контрольный цилиндрический участок 4. Величина массового расходного паросодержания на входе изменялась в пределах $x_0 = 0,15 - 0,3$, давление поддерживалось равным $2 \cdot 10^5$ Н/м², температура холодной жидкости составляла 15—17°C.

Результаты экспериментов представлены на фиг. 2. Как видно, наличие спутной струи холодной жидкости приводит к повышению давления на срезе сопла p_c (кривая 2) по сравнению с режимом запирания при истечении в свободное пространство (кривая 1). Это повышение оказывается тем большим, чем меньше x_0 . Кроме того, на фиг. 3 построено изменение давления по длине сопла и контрольного участка. Срез сопла соответствует значению нуль на оси абсцисс. Отношение расхода холодной воды к расходу смеси через сопло Лаваля характеризуется коэффициентом μ . В данных режимах диаметр жидкостного сопла 4,0 мм, расход смеси 0,160 кг/с, $x_0 = 0,147$. Отчетливо виден скачок давления (его интенсивность невелика), свидетельствующий о наличии нерасчетного режима сопла. Интересно отметить, что увеличение температуры конденсирующей жидкости снижает p_c/p_- , а некоторое изменение ее количества при неиз-



Фиг. 1

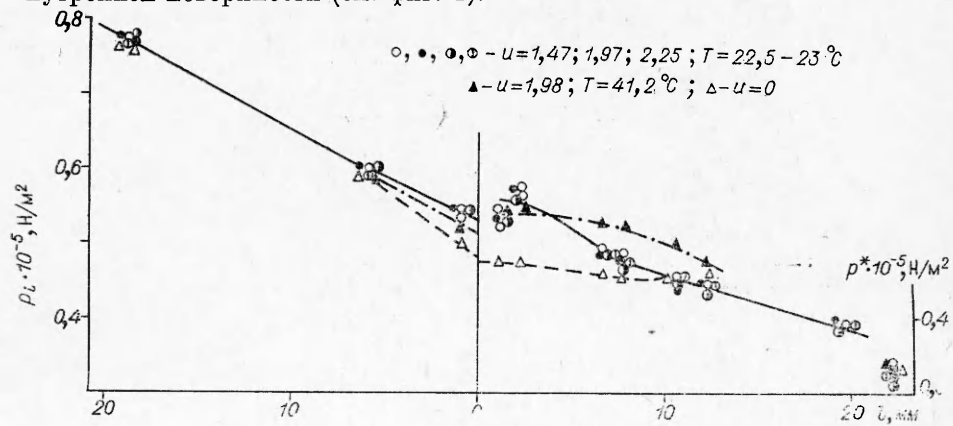


Ф и г. 2

требовался уже больший перепад давления, создававшийся, согласно [2], в скачках уплотнения. В рассматриваемом случае заметного дробления струи в цилиндрическом канале за соплом не происходит [3], тем не менее эффект повышения давления остается. Одним из объяснений такой картины течения могут служить следующие соображения.

При переходе потока из сопла в цилиндрический контрольный участок происходит скачкообразное изменение граничных условий. Если в сопле расход пара через боковую поверхность центрального тела равен нулю (условие непроницаемости стенок), то в камере смешения конденсация на струе жидкости требует, чтобы $I(r = r_0) = I_0$ (см. фиг. 1), где I_0 — количество пара, конденсирующегося на единице поверхности в единицу времени. Последнее вызывает появление в паре радиальной составляющей скорости v_r , обуславливающей поворот вектора скорости на срезе сопла на некоторый угол θ . В сверхзвуковом потоке такой поворот при достаточно больших θ осуществляется в скачках уплотнения.

Оценим роль конденсации на струе в повышении давления. Примем, что радиус струи r_0 постоянен и равен радиусу центрального тела на срезе сопла, т. е. на входе в цилиндрический участок поперечное сечение канала не изменяется. Будем считать, что конденсация в объеме отсутствует, а скорость конденсации на струе I_0 постоянна. В такой постановке задача о течении по цилиндрическому участку сводится к задаче о течении между коаксиальными цилиндрами с радиусами r_0 и R при наличии отсоса на внутренней поверхности (см. фиг. 1).



Ф и г. 3

менном выходном диаметре жидкостного сопла не влияет на величину этого отношения. При отсутствии конденсации распределения давлений по длине сопла при истечении в цилиндрический участок и свободное пространство совпадают.

Повышение давления в месте подачи холодной жидкости в сверхзвуковую часть сопла отмечалось в [2] и связывалось авторами с дроблением впрыскиваемых струй и возрастанием в результате этого гидравлического сопротивления участка, на преодоление которого

Зададим распределение скоростей в виде

$$(1) \quad \rho v_r = f(r)/r, \quad \rho v_z = \rho_- v_- - z f'(r)/r, \\ v_- = v_{z-}, \quad \rho = \varphi \rho^0,$$

который тождественно удовлетворяет уравнению неразрывности паровой фазы

$$\frac{1}{r} \frac{\partial}{\partial r} (r \rho v_r) + \frac{\partial}{\partial z} (\rho v_z) = 0,$$

где φ — объемное паросодержание; ρ^0 — истинная плотность пара; v_r и v_z — соответственно радиальная и продольная компоненты вектора скорости; знак — относится к значениям величин перед скачком уплотнения, который, как предполагается, возникает на срезе сопла. Следуя [4], запишем

$$(2) \quad f(r) = C_1 r^2 + C_2,$$

где C_1 и C_2 — константы, определяемые из граничных условий

$$I(r_0) = -I_0, \quad I(R) = 0.$$

Согласно фиг. 1,

$$\tan \theta = \frac{v_r}{v_z} = \frac{\rho v_r}{\rho v_z} = \frac{I}{\rho v_z},$$

откуда с учетом (1), (2) получим

$$(3) \quad \tan \theta = \frac{I_0}{\rho_- v_-} \frac{r_0}{R^2 - r_0^2} \left(r - \frac{R^2}{r} \right).$$

Условия на поверхности разрыва в невязкой двухфазной среде [5] представим в виде

$$(4) \quad \begin{aligned} \tan \frac{(\gamma - \theta)}{\tan \gamma} &= \frac{v_{n+}}{v_{n-}} = \frac{b - \sqrt{b^2 - 4ac}}{2av_{n-}}, \\ b &= v_{n-} + \frac{p_-}{\rho_-^0 v_{n-}}, \quad c = \frac{\Phi_-}{\Phi_+} \left(T_- + \frac{v_{n-}^2}{2c_p} \right) R, \quad a = 1 - \frac{\Phi_-}{\Phi_+} \frac{R}{2c_p}, \\ p_+ &= p_- + \rho_-^0 v_{n-} (v_{n-} - v_{n+}), \quad v_{n-} = v_- \sin \gamma, \end{aligned}$$

где γ — угол между направлением v_- и волной уплотнения; R — газовая постоянная; T — температура; p — давление; c_p — теплоемкость пара, знак + относится к значениям величин за скачком уплотнения. Согласно [5], при $(1 - \varphi)\rho_-^0 / (\varphi\rho_1^0) \ll 1$, что имеет место в исследуемых режимах (ρ_1^0 — плотность жидкости), можно пренебречь влиянием жидкой фазы на параметры газового потока за скачком уплотнения, т. е. принять $\varphi_- = \varphi_+$.

Система уравнений (4) связывает угол поворота потока θ с углом γ . Из двух возможных значений γ в расчетах выбирался тот, который соответствовал слабому скачку уплотнения. Параметры потока перед скачком были известны из опытов по истечению в свободное пространство без конденсации, приведенных в [1]. Величина I_0 определялась по формуле [6]

$$(5) \quad I_0 = \sqrt{\frac{2m}{\pi k}} \left(\frac{p_-}{\sqrt{T_-}} - \frac{p_s(T_0)}{\sqrt{T_0}} \right),$$

где m — масса молекулы пара; k — постоянная Больцмана; T_0 — тем-

пература впрыскиваемой жидкости; p_s — давление насыщения (коэффициент конденсации в (5) принят равным 1).

На основании (3), (5) с увеличением T_0 следует при прочих равных условиях ожидать уменьшения $\operatorname{tg} \theta$, а в результате и степени повышения давления за скачком, что и было отмечено в опытах (см. фиг. 3).

Расчеты проводились для случая, когда $r_0 = 2$ мм и $T_0 = 288$ К. Их результаты представлены на фиг. 2, где построены кривые, соответствующие значениям p_+ при $r = 6,65$ мм (кривая 3) и $r = 3$ мм (кривая 4). Заметим, что кривая 3 соответствует среднему по сечению углу $\langle \theta \rangle$, определенному как

$$\operatorname{tg} \langle \theta \rangle = \frac{2}{R^2 - r_0^2} \int_{r_0}^R \operatorname{tg} \theta r dr. \quad \text{Увеличение } p_+ \text{ с уменьшением}$$

расходного паросодержания на входе x_0 связано как с ростом I_0 , так и с уменьшением $\rho - v_-$.

Таким образом, конденсация пара на струе жидкости за срезом сопла может в определенных условиях существенно повлиять на процесс истечения.

Поступила 25 V 1979

ЛИТЕРАТУРА

- Крантов Ф. М., Теплов С. В., Мухин В. А. Экспериментальное исследование двухфазного сопла Лаваля с центральным телом.— В сб.: Вопросы газотермодинамики и энергоустановок. Вып. 1. Харьков, изд. ХАИ, 1974.
- Беспятов М. А., Михайлов В. Я., Фролов С. Д., Худяков В. Ф. Влияние начальной сухости пара на эффективность разгона жидкости в канале заданной геометрии.— В сб.: Вопросы газотермодинамики и энергоустановок. Вып. 1. Харьков, изд. ХАИ, 1974.
- Гролмс М. А., Петрик М. Экспериментальное исследование работы конденсационного инжектора и анализ КПД при сверхзвуковой скорости пара на входе.— В кн.: Прямое преобразование тепл. энергии в электр. и топл. элементы. Вып. 7, 1969.
- Terril R. M. Flow through a porous annulus.— Appl. Sci. Res., 1967, vol. 17, p. 204.
- Ингматулин Р. И. Уравнения гидромеханики и волны уплотнения в двухскоростной и двухтемпературной среде при наличии фазовых превращений.— Изв. АН СССР. МЖГ, 1967, № 5.
- Кучеров Р. Я., Рикенглаз Л. Э. К вопросу об измерении коэффициента конденсации.— ДАН СССР, 1960, т. 133, № 5.

УДК 533.72

К ВОПРОСУ ОБ ОСОБЕННОСТЯХ ЛАМИНАРНОГО ТЕЧЕНИЯ ЛЕТУЧИХ БИНАРНЫХ ГАЗОВЫХ СМЕСЕЙ В ПЛОСКИХ И КОАКСИАЛЬНЫХ КАНАЛАХ

*M. F. Баринова, Ю. К. Островский, Е. Р. Щукин,
Ю. И. Яламов
(Москва)*

При прохождении ламинарного потока бинарной газовой смеси через плоский (фиг. 1) или коаксиальный (фиг. 2) каналы, в которых происходит переконденсация вещества летучего компонента бинарной газовой смеси, устанавливающиеся при этом в канале распределения массовой скорости и давления будут отличаться от распределений скорости и давле-